

УДК 697.4; 536.7

## Условия эффективной работы теплонасосной системы теплоснабжения на основе энергии холодной воды и вентиляционного воздуха

В. Д. Петраш<sup>1</sup>, М. В. Высоцкая<sup>2</sup>

<sup>1</sup>д.т.н., проф. Одесская государственная академия строительства и архитектуры, г. Одесса, Украина,  
petrant@ukr.net

<sup>2</sup>асп. Одесская государственная академия строительства и архитектуры, г. Одесса, Украина

*На основе результатов аналитического исследования установлена модифицированная зависимость действительного коэффициента преобразования, которая является обобщённым критерием для оценки влияния исходных параметров и режимных условий работы на эффективность работы предложенной теплонасосной системы теплоснабжения.*

*Ключевые слова:* теплохладоснабжение, коэффициент преобразования, тепловой насос.

**Постановка проблемы.** Перспективным направлением экономии топлива и защиты окружающей среды при теплоснабжении зданий является высокоэффективное использование низкотемпературных источников энергии на основе теплонасосных технологий. Современное состояние, перспективы и проблемы использования соответствующих систем теплохладоснабжения предопределяют необходимость совершенствования процессов отбора теплоты и режимов её потребления абонентскими системами в процессе трансформации интегрированной энергии возобновляемых источников.

**Актуальность исследования.** Экономия замещаемого топлива в парокомпрессионной системе утилизации холодной воды [1] и теплоты удаляемого вентиляционного воздуха весьма существенно зависит от параметров низкотемпературных источников и абонентских систем теплопотребления. Представляет интерес также энергетический потенциал глубокого охлаждения удаляемых воздушных потоков в режиме конденсации водяных паров для повышения энергоэкологической эффективности использования первичного топлива. Одним из направлений решения поставленной задачи является разработка предложенных систем [2] для промышленных и гражданских зданий, характеризующихся значительными тепло – и влагоизбыtkами.

**Основная часть.** Устройство предложенной системы [2, 3, 4], разработанной на основе [5, 6], иллюстрируется схемой, представленной на рис 1. По трубопроводу 1 исходная холодная вода поступает в здание с общим расчётым расходом для холодного и горячего водоснабжения. После смешивания с тёплой водой из трубопровода 24 и последующего разделения она поступает под действием циркуляционного насоса 3 а в испаритель 4 для охлаждения, а также в основной конденсатор 5 а для нагрева.

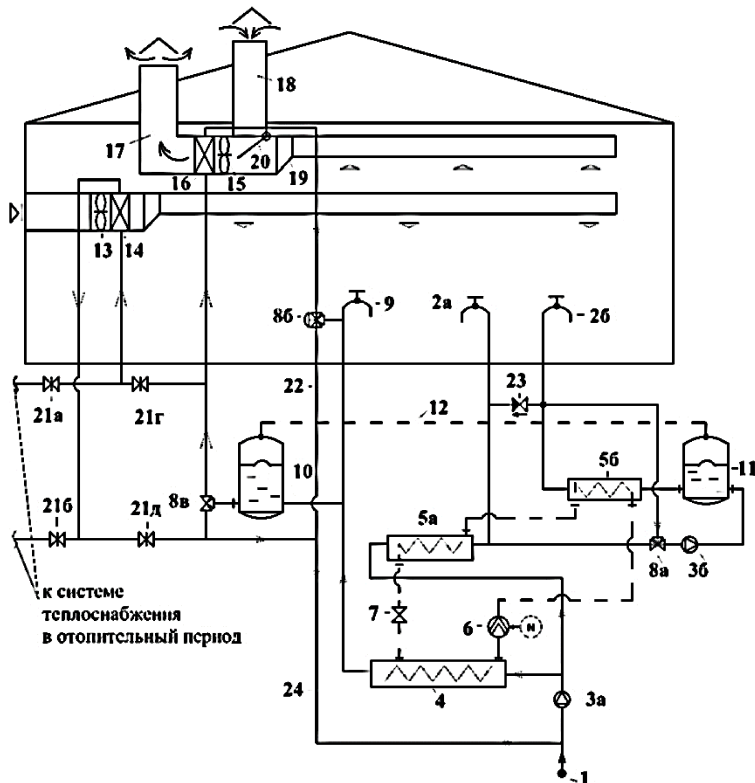


Рис. 1. Система теплохладоснабжения здания на основе интегрированной энергии холодной воды и воздушных потоков с пневмогидравлической стабилизацией теплообменных процессов в теплонасосной установке: 1 - трубопровод исходной холодной воды; 2 а - подсистема разбора тёплой воды; 2 б - система разбора горячей воды; 3 а, 3 б - циркуляционный насос; 4 - испаритель; 5 а - основной конденсатор; 5 б - форконденсатор; 6 - компрессор; 7 - дроссельный вентиль; 8 а, 8 б - трёхходовой температурный регулятор расхода; 8 в - трёхходовой температурный регулятор; 9 - система горячего водоснабжения пониженного температурного уровня; 10, 11 - баки аккумуляторы; 12 - «воздушный» трубопровод; 13, 15 - вентиляторы; 14, 16 - калориферы; 17, 18, 19 - воздуховоды; 20 - перекидной автоматизированный клапан; 21 а, 21 б, 21 г, 21 д - краны; 22 - трубопроводы.

Известно, что нагрев воды до высокой температуры с последующим её смешиванием с холодной для обеспечения более низкой заданной температуры смеси всегда сопровождается необратимыми потерями эксергии. Традиционно нагрев воды для горячего водоснабжения до нормируемой температуры 55 °C с дальнейшим использованием её при более низкой температуре (30...45) °C за счёт подмешивания холодной воды (для бассейнов, душевых и т.д.), связан с энергетическими потерями, то есть потерями эксергии. Поэтому в предложенной системе из общего потока воды после основного конденсатора 5 а подогретая её часть, обычно до температуры (30...45) °C, поступает в подсистему разбора тёплой воды 2 а (для бассейнов, ванн и т.д.), а остальная часть – в систему разбора

горячей воды 2 б, проходя последовательно бак-аккумулятор горячей воды 11 и форконденсатор 5 б для догрева её до 55 °C.

Рециркуляционная часть подогретой воды, как за счёт отбиаемой теплоты из удаляемого воздуха в калорифере 16, так и в калорифере 14 в летний период, в трубопроводе 24 образует совместный поток тёплой воды, который смешивается с холодной водой, поступающей из трубопровода 1 в испаритель 4. В результате обеспечивается непрерывная работа теплонасосной установки с основным конденсатором 5 а и форконденсатором 5 б, компрессором 6 и дроссельным вентилем 7.

Отбиаемый тепловой поток в течении года в испарителе 4 с тепловым эквивалентом приводной мощности компрессора 6 передаётся нагреваемой воде в основном конденсаторе 5 а и в форконденсаторе 5 б. Бак-аккумулятор охлаждённой воды 10 с гибкой внутренней мембраной на среднем уровне его высоты соединён в нижней части с подающим трубопроводом после испарителя 4 теплового насоса.

Связь баков-аккумуляторов 10 и 11 с гибкими мембранными посредством «воздушного» трубопровода 12 обеспечивает пневмогидравлическую стабилизацию режима работы теплонасосного контура в условиях несогласующихся режимов разбора горячей и холодной воды [3, 4].

Тепловой поток отработанного воздуха непрерывно отбирается циркулирующей водой через калорифер 16. Удаляемый воздух забирается воздуховодом 19 и проходит через калорифер 16, а воздуховодом 18 дополнительно отбирается и более тёплый наружный воздух в летний период года. Для регулирования соотношения указанных частей расходов воздуха, поступающего по соответствующим воздуховодам 18 и 19, служит перекидной автоматизированный клапан 20.

Применение систем предусматривается в зданиях, находящихся прежде всего в Южных регионах Украины и характеризующихся значительными расходами воды коммунально-бытового назначения с мощной приточно-вытяжной вентиляцией (плавательных бассейнов и водных процедур, прачечных и предприятий общественного питания).

В работе [7] изложена методика определения эффективности утилизации теплоты отработанных газов в режиме конденсации содержащихся паров. Компонента «сухой» части общего потока утилизируемой теплоты учитывается комплексом температурных перепадов фактического охлаждения воздуха относительно предельно возможного значения в рассматриваемом интервале абсолютных температур в виде  $(T_{yx,h} - T_{yx,k}) / (T_{yx,h} - 273)$ . Другая часть утилизируемого теплового потока в процессе конденсации водяных паров в отработанном воздухе учитывается разностью начальной  $T_{yx,h}$  и конечной  $T_{yx,k}$  температуры охлаждения относительно рассматриваемого температурного диапазона, т. е.  $(T_{yx,p} - T_{yx,k}) / (T_{yx,p} - 273)$ .

На вышеизложенной основе [7] с учетом [6, 8] утилизируемый тепловой поток «сухой» части удаляемого вентиляционного воздуха, оцениваемый по расходу первичного топлива  $B_k$  с теплотворной способностью  $Q_h^P$  и эффективностью его сжигания  $\eta_k$  в теплогенерирующей установке, представляется в виде

$$Q_{yx,c} = j_c \frac{B_k Q_h^p (1 - \eta_k)}{860}, \quad (1)$$

где  $j_c = (T_{yx,h} - T_{yx,k}) / (T_{yx,h} - 273)$  – коэффициент учёта эффективности утилизации теплоты «сухой» части удаляемого вентиляционного воздуха.

Тепловой поток конденсации водяных паров в отработанном воздушном потоке отличается дополнительным учётом высшей теплотворной способности затраченного топлива  $Q_e^p$  и определяется согласно зависимости

$$Q_{yx,n} = j_n \frac{B_k (Q_e^p - Q_h^p)}{860}, \quad (2)$$

где  $j_n = (T_{yx,p} - T_{yx,k}) / (T_{yx,p} - 273)$  – коэффициент учёта эффективности утилизации теплоты в процессе конденсации водяных паров, содержащихся в удаляемом вентиляционном воздухе.

Общий коэффициент учёта эффективности утилизации теплоты удаляемого воздуха по теплотворной способности топлива после соответствующих преобразований представляется в следующем виде:

$$j = j_c + j_n \left( \frac{Q_e^p}{Q_h^p} - 1 \right). \quad (3a)$$

В результате общий утилизируемый тепловой поток удаляемого вентиляционного воздуха  $Q_{yx}$ , определяющий энергетическую мощность  $Q_u$  испарителя  $I_2$ , приобретает вид

$$Q_{yx} = Q_u \frac{B_k Q_h^p}{860} j. \quad (3)$$

Утилизируемая теплота вентиляционного воздуха с расходом  $G_{yx}$ , характеризуемым кратностью воздухообмена  $n$  для вентилируемых помещений с общим объёмом  $V$ , определяется также и термодинамическими параметрами его начального  $i_{yx,h}$  и конечного  $i_{yx,k}$  состояния в процессе охлаждения, исходя из чего справедливо соотношение

$$Q_{yx} = Q_u = G_{yx} (i_{yx,h} - i_{yx,k}) = 3600^{-1} V n \rho (i_{yx,h} - i_{yx,k}). \quad (4)$$

Потребление теплоты абонентскими подсистемами определяется по различиям температуры предварительного нагрева, например для бассейна ( $t_b - t_{xb}$ ), и горячего водоснабжения ( $t_{ew} - t_{xb}$ ) с соответствующими расчётными расходами  $G_b$ ,  $G_{ew}$  теплоносителей, согласно зависимости

$$Q_{m\hbar} = Q_{\delta}^c \left[ (t_{\delta} - t_{x\delta}) + \beta (t_{z\delta} - t_{x\delta}) \right], \quad (5)$$

где  $\beta$  – коэффициент, учитывающий часть расходуемой воды в системе горячего водоснабжения  $G_{\text{вс}}$  относительно обновляемого расхода воды в работе бассейна  $G_{\delta}$ , т.е.  $\beta = G_{\text{вс}} / G_{\delta}$ .

При этом удельная мощность привода компрессора  $W/Q_h^P$  теплонасосной установки, которая обеспечивает утилизацию теплоты в процессе охлаждения воздуха в режиме конденсации водяных паров, определяется на основе (3) и установленной мощности теплового насоса  $Q_k = \varphi W$  согласно зависимости

$$\frac{W}{Q_H^p} = \frac{B_k Q_H^p}{860(\varphi - 1)} \left[ j_c + j_n \left( \frac{Q_E^p}{Q_H^p} - 1 \right) \right]. \quad (5 \text{ a})$$

Определим условия эффективного преобразования энергетических потоков в зависимости от параметров низкотемпературных источников и энергоносителя теплопотребляющей системы. Известно [6, 9], что действительный коэффициент преобразования в работе теплонасосной установки может быть представлен в виде:

$$\varphi = \left( 1 - \frac{Q_u}{Q_{mH}} \right)^{-1}. \quad (6)$$

На основе зависимостей (4) и (5) с учётом установленной взаимосвязи расходов  $G_\delta = G_{x\delta} / (1 + \beta)$  уравнение (6) приобретает следующий вид

$$\varphi = \frac{1}{1 - \frac{G_{yx}(1+\beta)(i_{yx,\text{h}} - i_{yx,\kappa})}{G_{xg}c[(t_{\delta} - t_{xg}) + \beta(t_{xg} - t_{xg})]}}. \quad (6)$$

Очевидно, что модифицированная зависимость действительного коэффициента преобразования (7) является обобщённым критерием для прогнозируемой оценки индивидуального влияния исходных параметров удаляемого вентиляционного воздуха и режимных условий работы абонентских систем, интегрировано определяющая общую эффективность преобразования энергетических потоков в анализируемой системе.

Интерпретация уравнения (7) графически иллюстрируется на рис. 2, где представлена зависимость действительного коэффициента преобразования от переменного соотношения расходов удаляемого вентиляционного воздуха  $G_{yx}$  и холодной воды  $G_{xw}$  в процессе эксплуатационного регулирования абонентских систем, учитывающая также соотношение расходов воды низкотемпературного нагрева для плавательного бассейна и требуемого на горячее водоснабжение. В

качестве исходных были приняты следующие данные: температура холодной воды для расчётных условий холодного и тёплого периодов года соответственно  $t_{x\theta} = 10$  и  $20^{\circ}\text{C}$ ; расчётные значения температуры поступающей воды в систему горячего водоснабжения и в бассейн соответственно  $t_{e\theta} = 50^{\circ}\text{C}$  и  $t_{\delta} = 28^{\circ}\text{C}$  для характерных условий работы при соотношении расходов  $\beta = 0,2$  и  $0,8$ .

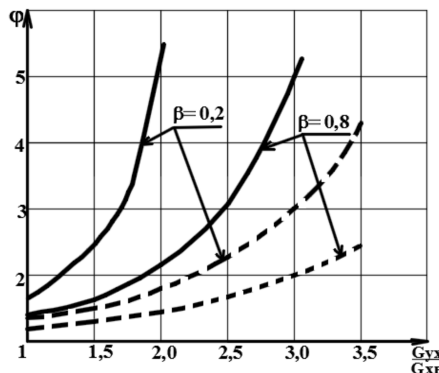


Рис. 2. Зависимость коэффициента преобразования от соотношения расходов удаляемого вентиляционного воздуха и холодной воды: — —  $t_{x\theta} = 20^{\circ}\text{C}$ ; - - -  $t_{x\theta} = 10^{\circ}\text{C}$ ;

Графиками иллюстрируется качественное влияние исходных параметров и режимов работы абонентских подсистем для достижения высокой энергетической эффективности работы предложенных систем.

Из графика следует, что для нижнего предельного соотношения анализируемых расходов ( $\beta = 0,2$ ) рациональная область  $G_{yx}/G_{x\theta}$ , обеспечивающая требуемую [9] эффективность преобразования энергетических потоков ( $\phi \geq 3$ ), находится в диапазоне соотношения анализируемых расходов ( $1,75 \div 3,0$ ).

Вместе с тем, в режиме интенсивного разбора воды на горячее водоснабжение ( $\beta = 0,8$ ) энергетическая эффективность работы системы обеспечивается при соотношении анализируемых расходов в пределах ( $2,5 \div 3,75$ ).

На рис. 3 представлена зависимость коэффициента преобразования от сезона изменяющейся температуры холодной воды на вводе в здание, применяемой в качестве низкотемпературного источника теплоты [1] анализируемой системы. Из графиков следует, что в системе с интегрированными низкотемпературными источниками теплоты даже при температуре холодной воды на вводе в здание  $t_{x\theta} = 10^{\circ}\text{C}$ , обеспечивается достаточно высокая энергетическая эффективность, характеризуемая значением коэффициентов преобразования выше нормативных [9], определяемая прежде всего  $t_{x\theta}$  и соотношением расходов удаляемого воздуха и холодной воды. Таким образом, анализ графических зависимостей подтверждает энергетическую целесообразность применения предлагаемой системы в промышленных и гражданских зданиях, характеризующихся, прежде всего, значительными расходами удаляемого вентиляционного воздуха и холодной воды, как низкотемпературных источников, с имеющимся многообразием теплопотребляющих систем.

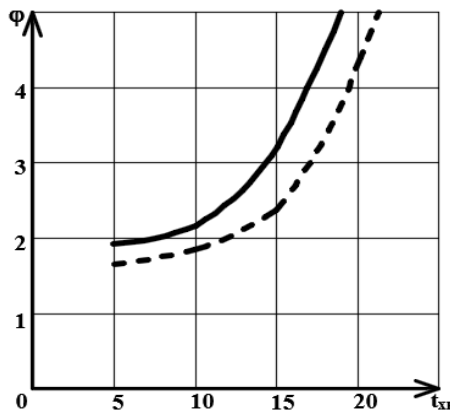


Рис. 3. Зависимость коэффициента преобразования от сезонного изменения температуры холодной воды на вводе в здание: — —  $G_{yx} / G_{x\theta} = 3,5$ ; - - -  $G_{yx} / G_{x\theta} = 2,5$ ;

**Выводы.** В результате аналитического исследования установлена модифицированная зависимость действительного коэффициента преобразования, которая является обобщённым критерием для прогнозируемой оценки индивидуального влияния исходных параметров и режимных условий работы предложенной теплонасосной системы теплоснабжения. Анализом результатов аналитического исследования коэффициента преобразования при  $\beta = 0,2$  установлено, что требуемая эффективность трансформации энергетических потоков ( $\phi \geq 3$ ) обеспечивается при соотношении расходов удаляемого вентиляционного воздуха и холодной воды в пределах ( $1,75 \div 3,0$ ). Вместе с тем, при интенсивном разборе воды на горячее водоснабжение ( $\beta = 0,8$ ) требуемая эффективность работы системы обеспечивается при соотношении анализируемых расходов в пределах ( $2,5 \div 3,75$ ).

### Литература

1. Высоцкая М.В. Холодная вода как низкотемпературный источник для теплонасосных систем теплохладоснабжения зданий. / М.В. Высоцкая // Научно – технический сборник «Энергоэффективность в строительстве и архитектуре». Выпуск № 7. – К.: КНУБА, 2015г. – 41- 46 с.
2. Система теплохолодопостачання на базі інтегрованої енергії холодної води та повітряних потоків з пневмогідралічною стабілізацією термотрансформаторних процесів. Патент на винахід № 109848 Бюл. № 19., 2015 «Український інститут промислової власності». Авт. Петраш В.Д., Висоцька М.В., Поломанний О.А.;
3. Высоцкая М.В. Пневматическая стабилизация гидравлического режима в системе теплохладоснабжения на основе интегрированной энергии холодной воды и вентиляционного воздуха / М.В. Высоцкая // Вестник ОГАСА № 58. 2015, 41-46 с.
4. Висоцька М.В. Стабілізація гідравлічних режимів в системі теплохолодопостачання на основі енергії холодної води і вентиляційного повітря / М.В. Висоцька // Вісник НУ Львівська політехніка, Серія: Теорія і практика будівництва № 844.2016, 81-85с.
5. Система гарячого водопостачання й вентиляції на основі термотрансфор-маторного циклу. Патент на винахід № 90926. Бюл. № 11 2010 р. «Український інститут промислової власності».

слової власності». Авт. Петраш В.Д., Войкіна Т.Ю., Басіст Д.В., Герасименко О.А.

6. Петраш В.Д. Теплонасосные системы теплоснабжения: монография/В.Д. Петраш – Одеса: типография «ВМВ», 2014 - 556 с.

7. Клименко В.Н. Некоторые особенности применения парокомпрессионных тепловых насосов для утилизации сбросной теплоты отопительных котлов / В.Н. Клименко // Промышленная теплотехника, т. 33, № 5, Киев. 2011 с. 42-48.

8. Петраш В.Д. Сравнительный анализ энергетической эффективности утилизации теплоты удалаемого вентиляционного воздуха / В.Д. Петраш, И.В. Сорокина, А.А. Поломанный // Вісник ОДАБА. Збірник наукових праць. Вип. 37.Одеса. 2010, с. 350-379.

9. DSTU B V.2.5-44:2010. Проектування системо палення будівель з тепловими насосами. – Київ: Мінрегіонбуд України, 2010. – С. 57.

### **References**

1. Vysotskaya M. V. “Kholodnaia voda kak nizkotemperaturnyi istochnik dlja teplonasosnykh sistem teplikhladosnabzheniiia zdani.” *Nauchno – tekhnicheskii sbornik «Energoeffektivnost v stroitelstve i architekture»*, Iss. 7, KNUBA, 2015, P. 41-46.
2. *Systema teplokhadolopostachannia na bazi intehrovanoj enerhii kholodnoi vody ta povitrianykh potokiv z pnevmohidravlichnoiu stabilizatsiieiu termotransformatornykh procesiv.* Pat. № 109848, 2015
3. Vysotskaya M. V. “Pnevmaticheskaiia stabilizatsiia gidravlicheskogo rezhma v sisteme teplokhadosnabzheniiia na osnove integrirovannoj energii kholodnoi vody i ventiliatsionnogo vozdukha.” *Vestnik OGASA*, no. 58, 2015, P. 41-46.
4. Vysotska M. V. “Stabilizatsiia hidravlichnykh rezhyimiv v systemi teplokhadolopostachannia na osnovi enerhii kholodnoi vody i ventyliatsiinoho povitria.” *Visnyk NU Lvivska politekhnika*, Seriia: Teoriia i praktyka budivnytstva, no. 844, 2016, P. 81-85c.
5. *Systema hariachoho vodopostachannia i ventyliatsii na osnovi termotransformatornooho tsyklu.* Pat. № 90926, 2010.
6. Pettrash V. D. *Teplonasosnye sistemy teplosnabzheniiia: monografiia.* tipografiiia «VMV», 2014.
7. Klimenko V. N. “Nekotoryie osobennosti primeneniia parokompressionnykh teplovyykh nasosov dlja utilizatsii sбросnoi teploty otopitelnykh kotlov.” *Promyshlennaia teplotekhnika*, Vol. 33, no. 5, 2011, P. 42-48
8. Pettrash V. D. Sorokina I.V., Polomannyi A.A. “Sravnitelnyi analiz energeticheskoi effektivnosti utilizatsii teploty udalaemogo ventilatsionnogo vozdukha.” *Visnyk ODABA*, Iss. 37, 2010, P. 350-379.
9. Projektuvannia system opalennia budivel z teplovymy nasosamy. DSTU B V.2.5-44:2010. Minregionbud Ukrayiny, 2010. – P. 57.

УДК 697.4; 536.7

## Умови ефективної роботи теплонасосної системи теплопостачання на основі енергії холодної води і вентиляційного повітря

В. Д. Петраш<sup>1</sup>, М. В. Висоцька<sup>2</sup>

<sup>1</sup>д.т.н., проф. Одеська державна академія будівництва та архітектури, м. Одеса, Україна, petrant@ukr.net

<sup>2</sup> асп. Одеська державна академія будівництва та архітектури, м. Одеса, Україна

*На основі результатів аналітичного дослідження встановлена модифікована залежність дійсного коефіцієнта перетворення, яка є узагальненим критерієм для оцінки впливу вихідних параметрів та режимних умов роботи на ефективність роботи запропонованої теплонасосної системи теплопостачання.*

*Ключові слова:* теплохолодопостачання, коефіцієнт перетворення, теплові насоси.

UDC 697.4; 536.7

## Conditions of Heat Pump System Efficient Operation Based on Energy of Cold Water and Ventilation Air

**V. Pet rash<sup>1</sup>, M. Vusotskaya<sup>2</sup>**

<sup>1</sup>Sc.D, professor. Odessa State Academy of Building and Architecture. Odessa. Ukraine, petrant@ukr.net

<sup>2</sup>Post-graduate student. Odessa State Academy of Building and Architecture. Odessa. Ukraine

*A modified dependence of the actual conversion ratio which is a generalized criterion for initial parameters of influence evaluation and mode conditions of operation on the work efficiency the proposed heat – pump heating system is established on the results basis.*

*Keywords:* heat and cold, the conversion factor, heat – pump.

*Надійшла до редакції 17 листопада 2016 р.*